

# Mobile Sicherheit durch effiziente Public-Key-Verschlüsselung

Hagen Ploog

Dirk Timmermann

Universität Rostock, Institut für Angewandte Mikroelektronik und Datenverarbeitung  
Richard-Wagner-Str. 31, 18119 Rostock  
Hagen.Ploog@uni-rostock.de

**Abstract.** Public-Key-Kryptographie, insbesondere das RSA-Verfahren, spielt heute in fast allen wichtigen öffentlichen Transaktionen bei Identifizierung, Authentifizierung und Digitaler Signatur an Bankautomaten, Handys oder auch bei der seit kurzem eingeführten Möglichkeit zur elektronischen Steuererklärung (E.L.S.T.E.R), eine entscheidende Rolle. Wir zeigen in diesem Beitrag, wie Public-Key-Kryptographie durch algorithmische Optimierungen in effiziente Hardware-Implementierungen überführt werden kann. Erst durch den Einsatz dedizierter Hardware wird eine minimale Verzögerungszeit garantiert und die Benutzung für den Anwender transparent.

## Einführung

Verschlüsselungsverfahren haben in den letzten Jahren einen im wesentlichen verdeckten Einzug in unser tägliches Leben gehalten. Wir beschreiben in diesem Beitrag, welche Verfahren es gibt und wie sie eingesetzt werden können. Am Beispiel des RSA-Verfahrens zeigen wir, wie mit Hilfe von mathematischen Optimierungen eine schnelle Hardware-Lösung realisiert werden kann und sich damit mobile Sicherheit effizient verwirklichen lässt.

## 1. Kryptographische Verfahren

Es gibt drei unterschiedliche Prinzipien von Verschlüsselungsverfahren. Sie werden danach unterschieden, welche und wie die Schlüssel benutzt werden. Alle Algorithmen lassen sich dadurch in eine der folgenden Gruppen einordnen:

- symmetrische Systeme,
- asymmetrische Systeme und
- hybride Systeme

### 1.1. Symmetrische Systeme

Bei dem Einsatz symmetrischer Systeme wird auf der Sender und auf der Empfänger-Seite der gleiche Schlüssel benutzt. Das eigentliche Problem besteht in der Frage, wie der zu benutzende Schlüssel übertragen werden kann.

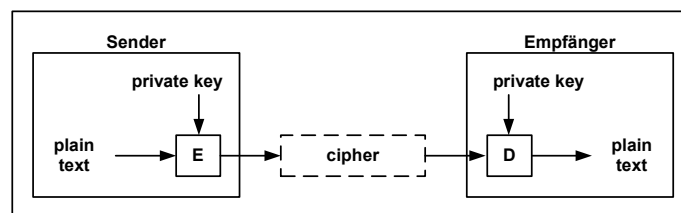


Bild 1: Symmetrische Verschlüsselung

## 1.2. Asymmetrische Systeme

Viele wichtige Funktionen (Identifikation, Authentifizierung, Unleugbarkeit, digitale Signatur usw.) lassen sich mathematisch nur mit Hilfe der asymmetrischen Systemen verwirklichen. Dabei werden auf beiden Seiten unterschiedliche Schlüssel benutzt. Die beiden Schlüssel sind eindeutig miteinander verknüpft. Je nach Anwendungsfall wird einer der beiden Schlüssel veröffentlicht, der jeweils andere geschützt.

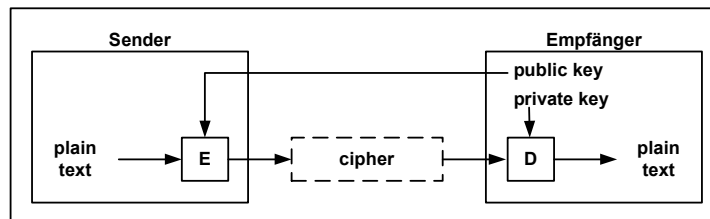


Bild 2 : Asymmetrische Verschlüsselung

## 1.3. Hybride Systeme

Um die Geschwindigkeitsvorteile der symmetrischen als auch die anwendungsspezifischen Vorteile der asymmetrischen Systeme nutzen zu können, wurden die hybriden Systeme eingeführt. Hier wird der Schlüssel mittels asymmetrischer Verfahren übertragen und anschließend zur Übertragung der Nutzdaten in den symmetrischen Modus umgeschaltet.

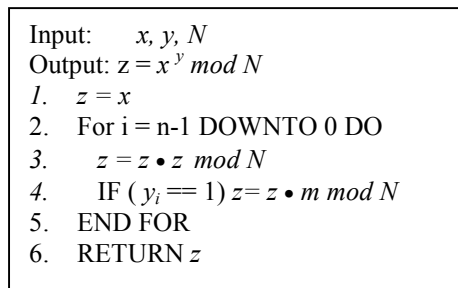
## 2. RSA

Das RSA-Verfahren ist der bekannteste Vertreter der Gruppe der asymmetrischen Systeme. Das Schlüsselset besteht aus drei Zahlen, dem öffentlichen Schlüssel  $E$ , dem privaten Schlüssel  $D$  und dem Systemmodul  $N$ . Dabei ist  $N$  das Produkt zweier Primzahlen ( $p, q$ ) und um ausreichende Sicherheit zu gewährleisten ca. 310 Stellen lang (1024 bit).  $E$  kann zufällig gewählt werden, muss aber relativ prim zu  $\phi(N)$  sein. Dadurch gilt:  $\text{gcd}(E, (p-1) \cdot (q-1)) = 1$ . Für die Berechnung von  $D$  gilt dem entsprechend:  $D = E^{-1} \text{ mod } (p-1) \cdot (q-1)$ .

Zum Verschlüsseln einer Nachricht  $m$ , wird  $c = m^E \text{ mod } N$  berechnet. Zum Dekodieren wird der verschlüsselte Text mit  $m = c^D \text{ mod } N$  wieder zurückgewandelt. In beiden Fällen wird eine Zahl  $x$  mit einer Zahl  $y$  exponentiert und anschließend mit einer Zahl  $N$  reduziert.

### 2.1. Modulo-Exponentierung

Die Modulo-Exponentierung kann als eine Folge von nacheinander ausgeführten Modulo-Multiplikationen verstanden werden ("square and multiply"). Dadurch werden die einzelnen Zwischenergebnisse nicht unnötig groß und die zum Speichern dieser Zahl notwendigen Register können in der Größenordnung von  $\log_2(N)$  bleiben. In Algorithmus 1 stellt  $y_i$  den Wert des Schlüssels an der entsprechenden Bitposition dar.



Algorithmus 1: Square and Multiply

## 2.2. Modulo-Multiplikation

Die Modulo-Multiplikation  $P = AB \bmod N$  kann wiederum auf die Modulo-Addition zurückgeführt werden. Anstatt das gesamte Zwischenprodukt zu berechnen und erst dann modulo  $N$  zu reduzieren, wird die Reduktion nach jedem Zwischenschritt durchgeführt,  $P_i = 2P_{i-1} + Ab_i \bmod N$ . Dadurch verbleibt  $P_i$  immer im Bereich von  $[0..3M]$ . Für  $A, B < N$  und  $B = b_{n-1}b_{n-2} \dots b_0$  gilt:

$$\begin{aligned} AB \bmod N &= \sum_{i=0}^{n-1} Ab_i 2^i \bmod N \\ &= \sum_{i=n-1}^0 Ab_i 2^i \bmod N \\ &= (((\dots((Ab_{n-1} \bmod N) \cdot 2 + Ab_{n-2}) \bmod N) \cdot 2 + \dots) \bmod N) \cdot 2 + Ab_0) \bmod N \end{aligned}$$

Die Multiplikation  $Ab_i$  ist eine binäre Entscheidung, ob  $A$  zum Zwischenergebnis  $P_i$  addiert werden muss. Bei der Modulo-Addition zweier Zahlen mit  $A, B < N$  gilt:

$$A + B \bmod N = \begin{cases} A + B, & \text{falls } A + B < N \\ A + B - N, & \text{sonst} \end{cases}$$

## 3. Bewertung

Zur Bewertung einer möglichen Implementierung müssen Vergleichswerte geschaffen werden. Einen solchen Vergleichswert kann die zur Berechnung notwendige Taktanzahl und damit die benötigte Zeit darstellen. Zur Vereinfachung nehmen wir deshalb an, dass eine Modulo-Addition in einem Taktzyklus ausgeführt werden kann. Weiterhin nehmen wir an, dass im Mittel die Hälfte aller Bits des Schlüssel mit 1 besetzt sind. Damit lässt sich die Modulo-Exponentierung im Mittel mit  $1.5n$ -Modulo-Multiplikationen ausführen, jede dieser Modulo-Multiplikationen benötigt ihrerseits wieder  $n$  Modulo-Additionen. Die Latenzzeit dieser Architektur beträgt damit  $1.5n^2$  Takte. Um diesen erheblichen Rechenaufwand zu reduzieren werden Verfahren eingesetzt, die die unnötigen Schritte während der Berechnung überspringen. In Tabelle 1 sind die zur Zeit aktuellen Werte angegeben.

Log2(N)	Anzahl Takte
512	393216
1024	1572864

Tabelle 1 : Taktanzahl in Abhängigkeit der Schlüssellänge

## 4. Optimierung

Der Durchsatz kann erhöht werden, indem die Nullen im Multiplikator  $B$  übersprungen werden, denn nur für  $b_i = 1$  muss tatsächlich eine Addition von  $A$  zum bisherigen Zwischenergebnis erfolgen. Die Anzahl der zu überspringenden Bits sei  $sp$ . Das Überspringen der Nullen erfolgt mittels eines  $k$ -stufigen Barrelshifters. Die maximale Verschiebeweite beträgt dann  $2^k - 1$ . Die Zwischenwerte berechnen sich dann:

$$P_i = \left( 2^{sp} P_{i-1} + Ab_i \right) \bmod M$$

Häufig wird der Multiplikator  $B$  in eine binary-signed-digit Darstellung  $D_{SD2}$  mit  $d_i \in \{-1, 0, 1\}$  umkodiert, so dass die Anzahl der Nicht-Null-Digits und damit die Anzahl der tatsächlich auszuführenden Operationen gesenkt wird. Da  $d_i$  jetzt auch den Wert "-1" annehmen kann, muss die Architektur neben der Addition auch die Subtraktion von  $A$  ermöglichen.  $P_i$  berechnet sich dadurch zu:

$$P_i = \left( 2^{sp} P_{i-1} + d_i A \right) \bmod M$$

Es kann gezeigt werden [WU99], dass durch das Umkodieren einer  $n$ -bit Binärzahl die Anzahl der Nicht-Null-Digits im Mittel  $n/3$  beträgt und dadurch die Abarbeitung von durchschnittlich drei Bit pro Operation ermöglicht wird. In realen Systemen wird die mögliche Anzahl der zu verschiebenden Bits u.a. durch die Anzahl der Stufen des Barrelshifters begrenzt, so dass die maximal zu erwartende durchschnittliche Verschiebeweite von drei Bit pro Operation nicht erreicht werden kann. Vom Zwischenergebnis werden noch, entsprechend der Verschiebeweite, Vielfache des Moduls  $2^x M$  subtrahiert, so dass sich letztlich ergibt:

$$P_i = 2^{sp} P_{i-1} + d_i A \mp 2^x M$$

Die Addition erfolgt zweistufig. Zuerst wird mit einem Carry-Save-Addierer (CSA) die Summe gebildet, die dann mittels eines Carry-Propagate-Addierers (CPA) von der redundanten Repräsentation wieder in die binäre Darstellung überführt wird, wodurch die Anzahl der Register zum Speichern der einzelnen Werte gesenkt wird. Diese Veröffentlichung konzentriert sich auf die Beschleunigung des Multiplikations-look-ahead ohne auf die Beschleunigung des Reduktions-look-ahead einzugehen, da dieser unabhängig von der Multiplikation arbeitet.

### 5. SD-Recoding

Die Umformung einer Binärzahl  $B$  in eine binary-signed-digit Darstellung  $D_{SD2}$  mit  $d_i \in \{-1, 0, 1\}$  reduziert die Anzahl der Nicht-Null-Werte im Mittel auf  $n/3$  und im schlechtesten Fall auf  $n/2$ , wobei  $n$  die Anzahl der Bits von  $B$  darstellt. Die Anzahl der auszuführenden Operationen während der Multiplikation wird durch die Anzahl der Nicht-Null-Digits von  $D_{SD2}$  bzw. durch die Länge der '0' und '1'-Ketten in  $B$  bestimmt. Reitwiesner gibt in [REI60] einen Algorithmus für die Umkodierung einer Binärzahl in eine SD-Zahl von *rechts-nach-links* an. Da die Multiplikation aber von *links-nach-rechts* ausgeführt wird, benutzt Sedlak [SED86a] deshalb für die Umkodierung Tabelle 2, die auf den folgenden Regeln beruht:

1.  $\langle\langle 1 \rangle\rangle_2^a \mapsto (1, \langle 0 \rangle^{a-1}, \bar{1})_{SD2} \quad \forall a \geq 2$
2.  $(\bar{1}, 1)_{SD2} = (0, \bar{1})_{SD2}$

Für das Umkodieren wird eine zusätzliche Variable  $bc$  benötigt, die anzeigt, ob gerade ein Block von Einsen oder Nullen übersprungen wird. In Tabelle 2 sind alle möglichen Fälle zusammengefasst. Als Eingabe dient dabei das aktuelle  $bc$  und die nächsten drei zu untersuchenden Bits von  $B$ . Als Ausgabe erhält man das entsprechende  $d_i$  und den nächsten Wert für  $bc$ .

Joye und Yen haben in [JOY00] gezeigt, dass die so erzeugte  $SD_2$ -Zahl bezüglich des minimalen Hamming-Gewichts von  $D_{SD2}$  optimal ist. Für die Umwandlung wird eine führende NULL benötigt. Der Algorithmus startet mit  $bc=0$  und  $b_n=0$ .

	$b_i$	$b_{i-1}$	$b_{i-2}$	$d$	$bc'$	Aktion
$bc=0$	0	0	X	0	z0	skip
	0	1	0	0	0	
	0	1	1	1	1	Halt + Addition
1	0	X	1	0		
$bc=1$	1	1	X	X	X	skip
	1	0	1	0	1	
	1	0	0	-1	0	Halt + Subtraktion
	0	1	X	-1	1	
	0	0	X	X	X	skip

Tabelle 2 : Optimales SD-recoding (links nach rechts)



Tabelle 3 fasst alle möglichen Werte für  $bc_{i+1}=0$  zusammen. Für den Fall, dass  $bc_{i+1}=1$  ist, sieht die Tabelle identisch aus, mit dem Unterschied, dass alle Werte für  $b$  invertiert und für  $d$  negiert werden.

Durch diese Erweiterung muss die Architektur nun allerdings in der Lage sein, die Werte  $\pm 2A$ ,  $\pm 3A$ ,  $\pm 4A$ ,  $\pm 5A$  und  $\pm 6A$  zu  $P_i$  zu addieren. Falls die erweiterte Verschiebung nur teilweise bzw. nicht ganz ausgeführt werden kann, müssen weiterhin auch die Werte  $\pm A$  und  $\pm 2A$  addiert werden können.

$b_i$ $b_{i-1}$ $b_{i-2}$ $b_{i-3}$ $b_{i-4}$	$bc_i'$ $bc_{i-1}'$ $bc_{i-2}'$ $d_i \rightarrow d_{i-1} \rightarrow d_{i-2} \rightarrow$
0 0 0 0 X	$\begin{matrix} 0 & 0 & 0 \\ 0 \rightarrow 0 \rightarrow 0 \rightarrow \end{matrix}$
0 0 0 1 0	$\begin{matrix} 0 & 0 & 0 \\ 0 \rightarrow 0 \rightarrow 0 \rightarrow \end{matrix}$
0 0 0 1 1	$\begin{matrix} 0 & 0 & 1 \\ 0 \rightarrow 0 \rightarrow 1 \rightarrow \end{matrix}$
0 0 1 0 X	$\begin{matrix} 0 & 0 & 0 \\ 0 \rightarrow 0 \rightarrow 1 \rightarrow \end{matrix}$
0 0 1 1 X	$\begin{matrix} 0 & 1 & 1 \\ 0 \rightarrow 1 \rightarrow 0 \rightarrow \end{matrix}$
0 1 0 0 X	$\begin{matrix} 0 & 0 & 0 \\ 0 \rightarrow 1 \rightarrow 0 \rightarrow \end{matrix}$
0 1 0 1 0	$\begin{matrix} 0 & 0 & 0 \\ 0 \rightarrow 1 \rightarrow 0 \rightarrow \end{matrix}$
0 1 0 1 1	$\begin{matrix} 0 & 0 & 1 \\ 0 \rightarrow 1 \rightarrow 1 \rightarrow \end{matrix}$
0 1 1 0 0	$\begin{matrix} 1 & 1 & 0 \\ 1 \rightarrow 0 \rightarrow \bar{1} \rightarrow \end{matrix}$
0 1 1 0 1	$\begin{matrix} 1 & 1 & 1 \\ 1 \rightarrow 0 \rightarrow 0 \rightarrow \end{matrix}$
0 1 1 1 X	$\begin{matrix} 1 & 1 & 1 \\ 1 \rightarrow 0 \rightarrow 0 \rightarrow \end{matrix}$
1 0 0 0 X	$\begin{matrix} 0 & 0 & 0 \\ 1 \rightarrow 0 \rightarrow 0 \rightarrow \end{matrix}$
1 0 0 1 0	$\begin{matrix} 0 & 0 & 0 \\ 1 \rightarrow 0 \rightarrow 0 \rightarrow \end{matrix}$
1 0 0 1 1	$\begin{matrix} 0 & 0 & 1 \\ 1 \rightarrow 0 \rightarrow 1 \rightarrow \end{matrix}$
1 0 1 0 X	$\begin{matrix} 0 & 0 & 0 \\ 1 \rightarrow 0 \rightarrow 1 \rightarrow \end{matrix}$
1 0 1 1 X	$\begin{matrix} 0 & 1 & 1 \\ 1 \rightarrow 1 \rightarrow 0 \rightarrow \end{matrix}$
1 1 X X X	(vorher Abbruch)

Tabelle 3 : Kodierung für drei Bits ( $bc_{i+1}=0$ )

### 6.1. Berechnung der Beschleunigung

$D_{SD}$  enthält eine bestimmte Anzahl von Nicht-Null-Werten, die jeweils den Multiplikations-look-ahead zu einem HALT und dadurch die Ausführung einer Operation veranlassen. Im folgenden werden wir nun die Anzahl der durch die Modifikation am Multiplikations-look-ahead eingesparten Operationen berechnen. Bild 4 zeigt einen Moore-Automaten (FSM), der die Umwandlung von einer Binärdarstellung in eine SD-Darstellung ausführt. Wegen der Symmetrie kann diese FSM entlang der gestrichelten Linie in zwei bezüglich der Übergangswahrscheinlichkeit äquivalente Hälften geteilt werden. Man erkennt dann, dass z.B.  $S_1$  äquivalent zu ( $\neg S_7$ ) ist. Zur Vereinfachung benutzen wir diese Symmetrie im weiteren und setzen:  $S_1 = S_7$ ,  $S_2 = S_8$ ,  $S_3 = S_9$ ,  $S_4 = S_{10}$ ,  $S_5 = S_{11}$  und  $S_6 = S_{12}$ .

Befindet sich die FSM nun in irgendeinem der HALT-Zustände ( $S_1, S_2, S_3$  ( $S_7, S_8, S_9$ )), dann folgt mit der Wahrscheinlichkeit  $P(add|S_i)$  in einer der nächsten beiden Stellen ein weiterer HALT:

$$\begin{aligned}
P(\text{add} | S_1) &= P(S_1 | 1) + P(S_1 | 01) + P(S_1 | 00) \\
&= 0.5 + 0.25 + 0.25 \\
&= 1 \\
P(\text{add} | S_2) &= P(S_2 | 00) = 0.25 \\
P(\text{add} | S_3) &= P(S_3 | 11) = 0.25
\end{aligned}$$

Als nächstes berechnen wir nun die Wahrscheinlichkeit  $P_{STOP}$ , dass die FSM, von einem beliebigen Zustand startend, in einem bestimmten Zustand  $S_x$  anhält, denn dieser HALT-Zustand ist der nächste Zustand von dem aus die FSM startet. Dazu müssen wir den Abstand zwischen zwei HALT-Zuständen berechnen.

Zuerst wird von  $S_3$  aus gestartet. Mit der Eingangsfolge "11", oder "011" bzw. "(0)<sup>a</sup>11" halten wir in  $S_2$ .

$$\begin{aligned}
P(S_3 \mapsto S_2) &= \frac{1}{2} \cdot \frac{1}{2} + \frac{1}{2} \cdot \frac{1}{2} \cdot \frac{1}{2} + \frac{1}{2} \cdot \frac{1}{2} \cdot \frac{1}{2} \cdot \frac{1}{2} + \dots \\
&= \frac{1}{4} \sum_{i=0}^{\infty} 2^{-i} = \frac{1}{4} \cdot \frac{1}{1 - \frac{1}{2}} = \frac{1}{2}
\end{aligned}$$

Die Wahrscheinlichkeit, dass bei einem Start von  $S_3$  aus der nächste Halt in  $S_2$  liegt, beträgt demnach 50%. Formell erhalten wir folgende Übergangswahrscheinlichkeiten:

$$\begin{aligned}
P(S_1 \mapsto S_2) &= \frac{1}{2} \\
P(S_1 \mapsto S_1) &= \frac{1}{2} \cdot \frac{1}{2} = \frac{1}{4} \\
P(S_1 \mapsto S_3) &= \frac{1}{2} \cdot \frac{1}{2} = \frac{1}{4} \\
P(S_2 \mapsto S_2[S_8]) &= \frac{1}{2} \cdot \frac{1}{2} + \frac{1}{2} \cdot \frac{1}{2} \cdot \frac{1}{2} + \dots \\
&= \frac{1}{4} \sum_{i=0}^{\infty} 2^{-i} = \frac{1}{4} \cdot \frac{1}{1 - \frac{1}{2}} = \frac{1}{2} \\
P(S_2 \mapsto S_1[S_7]) &= \frac{1}{2} \cdot \frac{1}{2} \cdot \frac{1}{2} + \frac{1}{2} \cdot \frac{1}{2} \cdot \frac{1}{2} \cdot \frac{1}{2} + \dots \\
&= \frac{1}{8} \sum_{i=0}^{\infty} 2^{-i} = \frac{1}{8} \cdot \frac{1}{1 - \frac{1}{2}} = \frac{1}{4} \\
P(S_2 \mapsto S_3[S_9]) &= \frac{1}{2} \cdot \frac{1}{2} \cdot \frac{1}{2} + \frac{1}{2} \cdot \frac{1}{2} \cdot \frac{1}{2} \cdot \frac{1}{2} + \dots \\
&= \frac{1}{8} \sum_{i=0}^{\infty} 2^{-i} = \frac{1}{8} \cdot \frac{1}{1 - \frac{1}{2}} = \frac{1}{4} \\
P(S_3 \mapsto S_2) &= \frac{1}{2} \cdot \frac{1}{2} + \frac{1}{2} \cdot \frac{1}{2} \cdot \frac{1}{2} + \dots \\
&= \frac{1}{4} \sum_{i=0}^{\infty} 2^{-i} = \frac{1}{4} \cdot \frac{1}{1 - \frac{1}{2}} = \frac{1}{2} \\
P(S_3 \mapsto S_1) &= \frac{1}{2} \cdot \frac{1}{2} \cdot \frac{1}{2} + \frac{1}{2} \cdot \frac{1}{2} \cdot \frac{1}{2} \cdot \frac{1}{2} + \dots \\
&= \frac{1}{8} \sum_{i=0}^{\infty} 2^{-i} = \frac{1}{8} \cdot \frac{1}{1 - \frac{1}{2}} = \frac{1}{4} \\
P(S_3 \mapsto S_3) &= \frac{1}{2} \cdot \frac{1}{2} \cdot \frac{1}{2} + \frac{1}{2} \cdot \frac{1}{2} \cdot \frac{1}{2} \cdot \frac{1}{2} + \dots \\
&= \frac{1}{8} \sum_{i=0}^{\infty} 2^{-i} = \frac{1}{8} \cdot \frac{1}{1 - \frac{1}{2}} = \frac{1}{4}
\end{aligned}$$





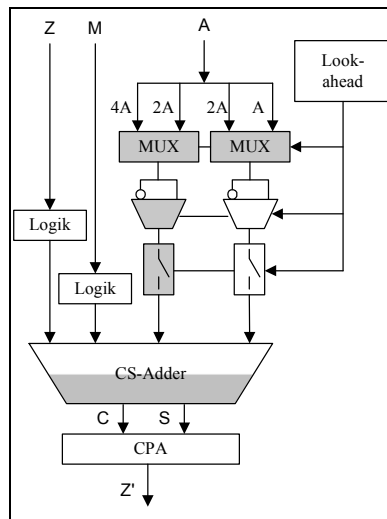


Bild 5 : Erweiterung an der Addierer-Einheit

## 8. Zusammenfassung

Die Modulo-Multiplikation kann bezüglich der Anzahl der notwendigen Operationen effizient mit einer seriellen Architektur realisiert werden. Theoretische Überlegungen zeigen, dass der obere Grenzwert bisher bei durchschnittlich maximal drei Bit pro Operation lag. Durch eine einfache Modifikation am Kodierungsverfahren kann der Grenzwert nun auf 4.3 Bit pro Operation verschoben werden. Dadurch wird im Mittel eine Leistungssteigerung von bis zu 43% erreicht. Die Auswirkungen der dafür zusätzlich erforderlichen Hardware sind eher gering, da alle wesentlichen Komponenten bereits vorhanden sind. Die Latenzzeit für die modifizierte Architektur berechnet sich zu  $T_{LZ} = 1.5 \cdot n \cdot \frac{n}{4.3}$ . Für  $n=1024$  ergibt sich damit eine Taktanzahl von 365782 Takten. Vergleicht man die erreichte Geschwindigkeit nun mit der eingangs vorgeschlagenen Lösung, erzielt man eine Verbesserung um den Faktor 4.3.

## Literatur

- [SED86] Sedlak, H.:  
Ein Public-Key-Code Kryptographie-Prozessor  
2. E.I.S-Workshop, GMD, Bonn, 1986
- [WU99] Wu, H.; Hasan, M.A.:  
Closed-Form Expression for the Average Weight of Signed Digit Representations  
IEEE Transactions on Computers, Vol. 48, No. 8, August 1999
- [Rei60] Reitwiesner, G.W.:  
Binary Arithmetic  
Advances in Computers, Vol.1, S.231-308, 1960
- [SED86a] Sedlak, H.:  
Patentschrift DE 3631992 C2, 1986
- [Joy00] Joye, M.; Yen, S.M.:  
Optimal Left-to-Right binary Signed-Digit Recoding  
IEEE Transactions on Computers, Vol. 49, No. 7, July 2000